

ESERCIZIO 1: REGIME RELATIVISTICO

In letteratura, si intende un corpo essere in regime RELATIVISTICO quando $\gamma > 1$, equivalentemente, $T \approx m_0 c^2$. Il regime è detto ULTRA-RELATIVISTICO quando $\gamma \gg 1$, $\beta \rightarrow 1$, $T \gg m_0 c^2$.

Si ricorda che $m_e = 0.511 \text{ MeV}/c^2$, $m_p = 938 \text{ MeV}/c^2$ e $m_n = 939 \text{ MeV}/c^2$
(elettrone) (proton) (neutrone)

Se considerino le seguenti specie atomiche, assumendo per semplicità $m_p \approx m_n \gg m_e$, caratterizzate dal NUMERO DI MASSA (= numero di NUCLEONI) A. Qual è l'energia critica alla quale le specie atomiche entrano nel regime di moto RELATIVISTICO? Qual è il valore β corrispondente?

- 1) H (idrogeno), A = 1
- 2) He (elio), A = 4
- 3) e (elettrone).

In base alle def. precedenti di regime RELATIVISTICO ($T \approx m_0 c^2$), otteniamo INDIPENDENTEMENTE delle specie atomiche:

$$T \approx m_0 c^2 = 938 \text{ MeV} (\text{p}), 939 \text{ MeV} (\text{n}), 0.511 \text{ MeV} (\text{e})$$

$$\gamma = \frac{E}{m_0 c^2} = \frac{T + m_0 c^2}{m_0 c^2} = \frac{2 m_0 c^2}{m_0 c^2} = 2.$$

$$\beta = 1 - \frac{1}{\gamma^2} = \underline{\underline{0.75}}.$$

ESERCIZIO 2: PROTONI ACCELERATI

Un protone è accelerato ad una $T = 200 \text{ MeV}$. Calcolare l'energia totale, la quantità di moto e la velocità.

$$E = T + m_p c^2 = (200 + 938) \text{ MeV} = 1.138 \text{ GeV}$$

$$pc = \sqrt{T^2 + 2Tm_p c^2} = \sqrt{(200)^2 + 2(200 \cdot 938)} \text{ MeV} = 644.4 \text{ MeV}$$

~~$$pc = \beta E \Rightarrow \beta = \left(\frac{E}{pc}\right)^{-1} = \left(\frac{1138 \text{ MeV}}{644.4 \text{ MeV}}\right)^{-1} = (1.77)^{-1} = 0.57.$$~~



ESERCIZIO 3: VITA MEDIA DEI PIONI

Un pion è una particella dotata di $m_\pi = 139.6 \text{ MeV}/c^2$ e che decada in altre particelle (kaoni) con VITA MEDIA $\tau = 26.029 \text{ ns}$ nel SR di QUIETE, su base alla legge: $N_\pi = N_0 e^{-t/\tau}$.

Qual'è la vita media del π nel sistema del rif. del Gassatore, se essi vengono accelerati fino ad una $T = 100 \text{ MeV}$?

$$E = T + m_\pi c^2 = (100 + 139.6) \text{ MeV} = 239.6 \text{ MeV}$$

$$\gamma = \frac{E}{m_\pi c^2} = \frac{239.6}{139.6} = 1.716 \Rightarrow \Delta t_{lab} = \gamma \tau = 44.676 \text{ ns}.$$

ESERCIZIO 4: LUNGHEZZA DI UN ACCELERATORE LINEARE

Si consideri un LINAC lungo 3 km, caratterizzato da un GRADIENTE ACCELERANTE medio $G = 20 \text{ MeV/m}$. Elettroni vengono iniettati nell'acceleratore con velocità iniziale $v_i = c/2$. Qual'è la lunghezza dell'acceleratore, vista DAGLI ELETTRONI, ancora da percorrere, quando essi hanno raggiunto la sua metà?

$$L' (\Delta s_{lab} = L/2) = \frac{1}{\gamma} \frac{L}{2},$$

$$\gamma_p = \frac{\epsilon_p}{m_e c^2}, \quad \text{dove } \epsilon_p = \epsilon_i + G \frac{L}{2}$$

$$\left. \begin{aligned} \epsilon_i &= \gamma_i m_e c^2 = \frac{1}{\sqrt{1 - \beta_i^2}} m_e c^2 = 1.155 m_e c^2 = 0.590 \text{ MeV} \\ G \frac{L}{2} &= 20 \text{ MeV/m} \cdot \frac{3 \text{ km}}{2} = 30.000 \text{ MeV} \end{aligned} \right\}$$

$$\Rightarrow \gamma_p = \frac{(0.590 + 30.000) \text{ keV}}{0.511 \text{ keV}} = 58709.6$$

$$\Rightarrow L' = \frac{1.5 \text{ km}}{58709.6} = 25.6 \text{ mm}.$$

ESERCIZIO 5: PARTICELLA IN CAMPO GRAVITAZIONALE, E vs. B

(E2)

Un protone con $T = 1 \text{ MeV}$ è messo in direzione parallela alla superficie terrestre. Quel è il RAGGIO di CURVATURA dovuto alle forze GRAVITAZIONALI. Quale forza, rispettivamente, il campo elettrico e il campo induzione magnetica necessari ad ottenere lo stesso raggio? Quel è il rapporto $|E|/|B|$? È questo rapporto differente per un protone avendo $T = 1 \text{ TeV}$? Perché?

$$m_p g = m_p \frac{v^2}{R}, \quad g = 9.8 \text{ m/s}^2$$

$$E = T + m_p c^2 = 939 \text{ MeV} \Rightarrow \gamma = \frac{E}{m_p c^2} = \frac{939}{938} = 1.001$$

$$\Rightarrow v = \beta c = c \sqrt{1 - \frac{1}{\gamma^2}} = 0.045c$$

$$\text{Quando: } R = \frac{v^2}{g} = 1.9 \cdot 10^{13} \text{ m}$$

$$|\vec{F}| = |\gamma \vec{E}| = m_p g \Rightarrow |\vec{E}| = \frac{m_p}{\gamma} g \xrightarrow{\sim 1.67 \cdot 10^{-27} \text{ kg}} = 1.02 \cdot 10^{-7} \text{ V/m}$$

$$|\vec{F}| = |\gamma \vec{v} \times \vec{B}| = m_p g \Rightarrow |\vec{B}| = \frac{m_p}{\gamma} \frac{g}{v} = \frac{|\vec{E}|}{v} \xrightarrow{\sim 1.6 \cdot 10^{-18} \text{ C}} = 7.6 \cdot 10^{-15} \text{ T}$$

$$\text{In generale, } \frac{|\vec{E}|}{|\vec{B}|} = v.$$

$$|\vec{E}| \approx 300 \frac{\text{MV}}{\text{m}} \cdot B(T)$$

$$\text{Quando } T = 1 \text{ TeV} \gg m_p c^2 = 938 \text{ keV} \Rightarrow v \approx c.$$

ESERCIZIO 6: ENERGIA del CM in COLLISIONI

$$\overrightarrow{(E_T, \vec{p}_T)} \rightarrow (m_2 c^2, 0) \quad \text{collistione su BERSAGLIO fisso}$$

L'energia NEL C.M. del sistema FASCIO + BERSAGLIO è pari alla massa e riposo del sistema nel SR in cui il CM è in quiete:

$$M_0 c^2 = \sqrt{E_{\text{tot}}^2 - (\vec{p}_{\text{tot}})^2} = \sqrt{(E_T + M_0 c^2)^2 - p_T^2} = \sqrt{(M_0 c^2)^2 + (M_0 c^2)^2 + 2 E_T M_0 c^2};$$

$$\text{Se } E_T \gg M_0 c^2, M_0 c^2, \text{ abbiamo: } M_0 c^2 \approx \sqrt{2 E_T M_0 c^2}.$$

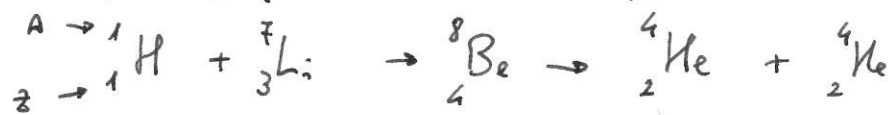
$$\begin{array}{c} \overset{1}{\longrightarrow} \quad \overset{2}{\longleftarrow} \\ M_0 c^2 = \sqrt{(E_1 + E_2)^2 - (\vec{p}_1 + \vec{p}_2)^2} = \sqrt{(E_1 + E_2)^2} \neq 2 E_1 \\ \text{se } E_1 = E_2 \end{array}$$

$$\Rightarrow E_T = \frac{2 E_1^2}{M_0 c^2} \quad \text{per avere lo stesso } M_0 c^2 \text{ nel CM.}$$



Esercizio 7: Barriera Coulombiana.

Nell'esp. di Cockcroft-Walton, un acceleratore ELETTROSTATICO viene usato per accelerare PROTONI (IONI IDROGENO) su bersaglio di LITIO, al fine di produrre PARTICELLE α (NUCLEI di IDROGENO):



La barriera Coulombica rappresentata dagli ellettri di Li^+ è:

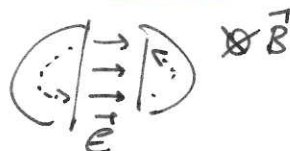
$$U(r) = \frac{ze}{4\pi \epsilon_0 r c}$$

Al fine di insorgere la reazione, l'energia cinetica dei protoni deve essere: $T_p \geq U(R_{Li})$ dove $R_{Li} = R_0 A(Li)^{1/3}$

$$\Rightarrow T_p \geq \frac{\frac{3e^2}{4\pi \epsilon_0 R_{Li}}}{R_{Li}} = 3 \cdot 10^{-13} J = 1.875 \text{ MeV.}$$

$\hookrightarrow 1.2 \cdot 10^{-15} \text{ m}$

Esercizio 8: Ciclotrone di Lorentz



$$\vec{F}_L = q(\vec{E} + \vec{v} \times \vec{B}) \neq qvB \hat{e}_\perp$$

nelle "Dees"

$$\frac{qvB}{m} = q\omega v = \gamma m_0 \omega v, \text{ per un'orbita stabile}$$

$$\Rightarrow \boxed{\omega_c = \frac{qB}{\gamma m_0}}$$

↑ è seguito ad ogni successivo di accelerazioni
formante \Rightarrow la stabilità nel piano
di deflessione è garantita da:

$$\omega_{RF} \approx \omega(\gamma) \sim \text{SINCRON-CICLOTONE}$$

$$B = B(r(\gamma)) \sim \text{CICLOTONE A SETTORI}$$

Dalle precedenti equivalenze ottengono inoltre (valori per ogni particella carica su DIPOLO MAGNETICO):

$$qvB = \gamma m_0 \frac{v^2}{R} \Rightarrow \boxed{P = eBR}$$

$$P [GeV/c] = 0.2998 B_0 [T] R [m] \text{ nel S.I.}$$

ESERCIZIO 3: CAMPO DI CARICA PUNTIFORME IN MOTO RETTILINEO UNIFORME

Sia q in moto nel SR'. SR' si muove con $\vec{v} = v_x \hat{i}$ rispetto a SR.
 q si trova in O' nel SR', e in $\underline{x} = v_x t$ nel SR. Il campo elettrico di Coulomb in SR' è:

$$\left\{ \begin{array}{l} \vec{E}' = \frac{q}{4\pi\epsilon_0} \frac{\vec{x}'}{r'^3}, \quad r' = \sqrt{x'^2 + y'^2 + z'^2} \Rightarrow E_x' = \frac{q x'}{4\pi\epsilon_0 r'^3} \\ \vec{B}' = 0 \end{array} \right.$$

Nel SR risulta (trasformazione delle coordinate cartesiane):

$$E_x = E_x' = \frac{q}{4\pi\epsilon_0} \frac{x'}{r^3} = \frac{q}{4\pi\epsilon_0} \frac{\delta(x - v_x t)}{\left[\delta^2(x - v_x t)^2 + y^2 + z^2\right]^{3/2}} \sim \frac{1}{r^2}$$

tra l'origine
per \vec{x}

$$E_y = \delta(E_x' + v_x B_z') = \frac{q}{4\pi\epsilon_0} \frac{\delta y}{\left[\delta^2(x - v_x t)^2 + y^2 + z^2\right]^{3/2}} \sim \frac{1}{r^2}$$

Dall'eq. di $\vec{B}' = 0$ ottieniamo: $\vec{B} = \frac{\vec{v} \times \vec{E}}{c^2} \sim \frac{\vec{B}}{r^2}$

Inoltre: osserviamo la carica q nel SR in $t=0$. Il campo elettrico è:

$$\vec{E}_x(t=0) = \frac{q}{4\pi\epsilon_0} \frac{\delta r}{(\delta^2 x^2 + y^2 + z^2)^{3/2}}$$

dove posiamo scrivere, in coordinate polari:

$$\vec{E}_x(t=0) = \frac{q}{4\pi\epsilon_0} \frac{\delta r \cos\theta}{(\delta^2 r^2 \cos^2\theta + r^2 \sin^2\theta)^{3/2}} =$$

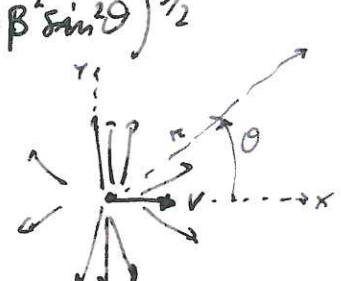
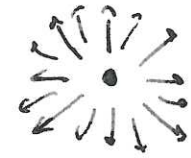
$\left\{ \begin{array}{l} x = r \cos\theta \\ y = r \sin\theta \\ z = \text{resto} \end{array} \right.$
sogli $t=0$

$$= \frac{q}{4\pi\epsilon_0} \frac{\delta r \cos\theta}{(\delta^2 r^2 - \delta^2 r^2 \sin^2\theta + r^2 \sin^2\theta)^{3/2}} =$$

$$= \frac{q}{4\pi\epsilon_0} \frac{\delta r \cos\theta}{r^3 [\sin^2\theta(1 - \delta^2) + \delta^2]^{3/2}} = \frac{q}{4\pi\epsilon_0} \frac{\delta r \cos\theta}{r^3 \delta^3 (1 - \beta^2 \sin^2\theta)^{3/2}} =$$

$$= \boxed{\frac{q}{4\pi\epsilon_0} \frac{\delta r}{r^2} \frac{(-\beta^2 y^2)}{(1 - \beta^2 \sin^2\theta)^{3/2}}}$$

SR'
(SPHERE)



SR
(DISC)

(EX1)

CAMPO DI CATTURA ELETTRONICA

L'antenna di un LINAC è un "camerelettronica" (GUN) ad "onde reggenti", caratterizzato da una $f_{RF} = 3 \text{ GHz}$ e $v_p = c$. Esso produce deflessioni (ad es. per effetto termoionico) con una energia cinetica superiore $T_i = 0.1 \text{ MeV}$.

Qual è il minimo valore del campo elettrico accelerante che ne consenta la cattura?

$$eE_{z,0} \geq \frac{2\pi m c^2}{\lambda_{RF}} \frac{f_0}{1-\beta_0}$$

$$E = T_i + m c^2 = 0.611 \text{ MeV} \Rightarrow f_0 = \frac{E}{m c^2} = 1.196 \Rightarrow \beta_0 = \sqrt{1 - \frac{1}{f_0^2}} = 0.88$$

$$\Rightarrow eE_{z,0} \geq 85 \text{ MV/m}$$

OSSILLAZIONI LONGITUDINALI IN UN LINAC DI PROTONI

Un fascio di protoni è accelerato in un LINAC a partire da una energia cinetica $T_i = 10 \text{ MeV}$. Il braccio ha un gradiente accelerante (medio) $G = 25 \text{ MV/m}$, ed è lungo $L = 30 \text{ m}$. Il braccio è utilizzato in accelerazione con una frequenza $\phi_{RF} = \frac{\pi}{4}$, $f_{RF} = 3 \text{ GHz}$.

Calcolare il numero minimo e massimo di oscillazioni longitudinali attese nell'attraversamento del braccio.

Il fascio di p si trova in regime non- o DEPOLIMENTO RELATIVISTICO.

$$\text{Infatti: } T_i = 10 \text{ MeV} \ll m_p c^2 = 938 \text{ MeV}$$

$$T_p = T_i + eGL = 10 \text{ MeV} + 530 \text{ MeV} = 540 \text{ MeV} < m_p c^2.$$

$$\text{In particolare: } \beta_i = \frac{T_i + m_p c^2}{m_p c^2} = 1.014 \Rightarrow \beta_i = 0.145$$

$$\beta_p = \frac{T_p + m_p c^2}{m_p c^2} = 1.580 \Rightarrow \beta_p = 0.774$$

La frequenza angolare di oscillazione longitudinale è:

$$\Omega_s^2 = \left(\frac{2\pi}{T_s} \right)^2 = - \frac{eE_0 \sin \phi_s \omega_{RF}}{m_p v_s^3} \frac{c^2}{c^2}$$

Il numero di oscillazioni lungo L sarà dato (per $\beta_s = \text{cost}$) da: $N_s = \frac{\Delta t(L)}{T_s}$



Il numero MINIMO di $N_s = \hat{N}_s$ è ottenuto per $\beta_s = \beta_p$. Il numero MASSIMO di $N_s = \hat{N}_s$ è ottenuto per $\beta_s = \beta_i$. In questo:

$$\begin{aligned} N_s &= \frac{\Delta t(L)}{T_s} = \frac{L}{\beta_s c} \frac{\Omega_s}{2\pi} = \frac{L}{2\pi} \frac{1}{\beta_s c} \sqrt{\frac{9E_{q0} \sin\phi_s w_{RF}}{m_p \beta_s^3 c^3} c^2} = \\ &= \frac{L}{2\pi} \frac{1}{\beta_s} \sqrt{\frac{9E_{q0} \sin\phi_s w_{RF}}{(m_p c^2) \beta_s^3 c}} = \\ &= \frac{L}{\sqrt{2\pi}} \sqrt{\frac{9E_{q0} \sin\phi_s}{m_p c^2 \lambda_{RF}}} \cdot \frac{1}{\beta_s^{5/2}} \end{aligned}$$

Ottengono: $\hat{N}_s (\beta_s = \beta_i) = \frac{5.18}{(\beta_i)^{5/2}} \approx 647$ oscillazioni

$$\hat{N}_s (\beta_s = \beta_p) = \frac{5.18}{(\beta_p)^{5/2}} \approx 8$$
 oscillazioni.

MOTO IN UN BETATRONE e CONFRONTO CON UN CICLOTRONE.

Se consideri un BETATRONE di raggio massimo $R = 0.7\text{ m}$ e campo magnetico di picco $B_0 = 1\text{ T}$. La frequenza di oscillazione del B_0 nel tempo è $f_R = 10\text{ Hz}$.

Calcola la massima energia cinetica raggiungibile nel betatrone, per un ELETTRONE e per un PROTONO.

Nel caso di elettrone, stime il numero di giri necessari al raggiungimento di tale energia critica.

Confronta le massime energie critiche raggiunte in un CICLOTRONE di analogo raggio, ma $B_0 = 4.6\text{ T}$ (superconduttoro). Quale dei due sistemi è più vantaggioso per accelerare particelle "pesanti"? Per quale ragione?

BETATRONE.

$$P_{z,\max} = e\hat{B}_0 R \Rightarrow \hat{P}_e [GeV/c] = 0.3\hat{B}_0 [T] R[m] = 0.210 GeV/c$$

$$\text{La relazione tra } T \text{ e } P_z \text{ è: } E = T + m_e c^2 = \sqrt{(pc)^2 + (mc^2)^2}$$

Troviamo $P_{p,\max} \ll P_e$ cosicché $P_z \approx P$ (totale) e ottengo:

$$\begin{aligned} T &= \sqrt{(P_z c)^2 + (mc^2)^2} - mc^2 \Rightarrow \left\{ \begin{array}{l} \hat{T}_e (\hat{P}_e) = 209.5 \text{ MeV} \\ \hat{T}_p (\hat{P}_p) = 23.2 \text{ MeV} \end{array} \right. \end{aligned}$$

In un acceleratore, vale la relazione tra campo elettrico nel piano di deflessione e flusso magnetico: $E_0(r) = -r \frac{dB_r(r)}{dt}$ (Ex2)

$$\text{Stesso per } r = R : |E_0(R)| \approx R f_{fr} B_0 = \pm V/m$$

Il quantitativo di energia per giro, sull'orbita di raggio R , è:

$$(\Delta E)_{\text{turn}} = e E_0(R) 2\pi R$$

Il numero di giri necessari a raggiungere \hat{T}_e sarà:

$$N_{\text{turn}} = \frac{\hat{T}_e}{E_0(R) 2\pi R} = 6.8 \cdot 10^6$$

Consideriamo un ciclotrone ($R = 0.7 m$, $B_0 = 4.6 T$)

$$\hat{p}_z = e B_0 R = 966 \text{ MeV/c}$$

$$\hat{T}_e = \sqrt{(\hat{p}_z c)^2 + (m_e c^2)^2} - m_e c^2 = 965.5 \text{ keV} \gg m_e c^2, \text{ regime ULTRA-RELATIVISTICO}$$

$$\hat{T}_p = \sqrt{(\hat{p}_z c)^2 + (m_p c^2)^2} - m_p c^2 = 408.5 \text{ keV} \approx m_p c^2, \text{ regime DEBOUCANTE RELATIVO}$$

In generale: $p_z c \approx \sqrt{T^2 + 2m_e c^2 T}$

$\approx \hat{T}_e$

$\approx \sqrt{2m_p c^2 \hat{T}_p}$

Dunque: $\left\{ \begin{array}{l} \hat{T}_e \approx 965.5 \text{ keV} \\ \hat{T}_p \approx \frac{\hat{p}_z^2}{2m_p} = 497.4 \text{ keV} \end{array} \right.$

Inoltre, $\hat{T}_e \propto p_z \propto B_0$

$\hat{T}_p \propto p_z^2 \propto B_0^2 \leftarrow$ Un $B_0 > 1 T$ nel ciclotrone consente maggiori energie anche a pari raggio di orbita dell'accelerazione R .



SINCRONTRONE in RAMPA DI ENERGIA

Il sincrotron "TEVATRON" del Fermilab (Chicago) è lungo $C = 6 \text{ km}$ ed accelera protoni da una energia cinetica $T_i = 10 \text{ GeV}$ ad una massima $T_f = 400 \text{ GeV}$. Il numero armonico è $h = 200$.

Si calcoli la variazione della frf necessaria al mantenimento in orbita fissa dei protoni accelerati da $T_i \approx T_f$.

$$f_{RF} = \frac{B_0 c}{C} : \quad f_{RF} = h f_{RF,i} = \frac{hc}{C} \beta_z \Rightarrow \frac{\Delta f_{RF}}{f_{RF}} = \frac{\Delta \beta_z}{\beta_z}$$

Poiché sto assumendo $C = \text{cost.}$ per ogni valore di $\beta_z(T)$, sto supponendo che B_0 nei dupli aumenti dell'energia dell'atomo, tale che $R = \frac{P_t}{eB} \equiv \text{cost.}$

$$\gamma_i = \frac{T_i + m_p c^2}{m_p c^2} = 11.7 \Rightarrow \beta_i = \sqrt{1 - \frac{1}{\gamma_i^2}} = 0.9963$$

$$\gamma_f = \frac{T_f + m_p c^2}{m_p c^2} = 427.4 \Rightarrow \beta_f = \sqrt{1 - \frac{1}{\gamma_f^2}} = 0.9999$$

$$\Rightarrow \frac{\Delta \beta_f}{\beta_{F,i}} = \frac{\Delta \beta_z}{\beta_{z,i}} = 3.7 \cdot 10^{-3}$$

Poiché $f_{RF,i} = h f_{RF,i} \Rightarrow \Delta f_{RF} (10 \text{ GeV} \rightarrow 400 \text{ GeV}) \Big|_{R=\text{cost.}} = \underline{\underline{225 \text{ kHz}}}.$

OSCILLAZIONI DI SINCRONTRONE

Calcolare le frequenze di sintonia per il Tevatron del FNAL ($C = 6 \text{ km}$) al veloce di energia massima $T = 10 \text{ GeV}$. Li consideri $h = 200$, $V_0 \cos \phi_s = 1 \text{ MV}$ ($\phi_s = 0$) e $\beta_{th} = 6$.

$$\Omega_s^2 = \frac{h \eta \omega_s q V_0 \cos \phi_s}{2\pi R_s \rho_s c} \cdot c \quad \left\{ \begin{array}{l} \rho_s c = \sqrt{T^2 + 2m_p c^2 T} = 10.9 \text{ GeV} \\ \gamma = \frac{T + m_p c^2}{m_p c^2} = 11.7 \rightarrow \beta_s = 0.9963 \\ \omega_s = \frac{2\pi}{T_s} = \frac{2\pi}{c} \beta_s c = 0.3 \text{ MHz} \\ \eta = \frac{1}{\beta_s^2} - \frac{1}{\beta_{th}^2} = -0.020 \end{array} \right.$$

$$\Omega_s = 2.3 \text{ kHz}.$$

SINCRONTRONE : RAGGIO DI CURVATURA e GUADAGNO di ENERGIA

(6x3)

Si consideri il sincrotron per protoni del CERN (proto-sincrotrone, PS). Il RAGGIO EQUIVALENTE delle cariche è $R_{eq} = 100 \text{ m}$. La variazione del campo magnetico dipolare nel tempo, durante l'accelerazione, è $\dot{B} = 2.4 \text{ T/sec}$. Il numero totale dei dipoli è 100, ognuno con LUNGHEZZA MAGNETICA $l_m = 4.2 \text{ m}$. Il numero attivato è $l_1 = 20$.

Si calcoli il GUADAGNO di ENERGIA per GIRO. Si calcoli la f_{RF} quando $B_0 = 1.23 \text{ T}$ (punto di "estrazione").

Se R_B è il raggio di curvatura reale di dipol, tale che:

$$p_z = e B R_B$$

$$\text{Se } R_B = \text{cost.} \Rightarrow \frac{dp_z}{dt} = e R_B \dot{B} \Rightarrow (\Delta p_z)_{\text{Giro}} = T_{\text{RIV}} e R_B \dot{B} = \frac{2\pi R_{eq}}{\beta_2 c} e R_B \dot{B}$$

$$\text{Poché } \Delta p_z \approx \Delta p \approx \frac{\Delta E}{\beta_2 c} \quad (\rho_{\text{cir}} \ll p_z),$$

$$\text{troviamo: } (\Delta E)_{\text{Giro}} = \beta_2 c (\Delta p)_{\text{Giro}} = 2\pi e R_{eq} R_B \dot{B}, \text{ dunque:}$$

$$R_B = \frac{l_m}{\theta_B} = \frac{l_m}{2\pi} \cdot 100 = 70 \text{ m. Dovendo:}$$

$$(\Delta E)_{\text{Giro}} = 31.7 \text{ keV}$$

$$f_{RF} = h f_{\text{RIV}} = h \frac{\beta_2 c}{2\pi R_{eq}} \quad \text{dove } p_z m_e = e B_0 R_B \text{ o } B_0 = 1.23 \text{ T} \\ \Rightarrow p_z = 25.83 \text{ GeV/c}$$

$$\Rightarrow \gamma = 27.5$$

$$\Rightarrow \beta_2 = 0.9993$$

$$\Rightarrow f_{RF}(1.23 \text{ T}) = 9.537 \text{ MHz.}$$

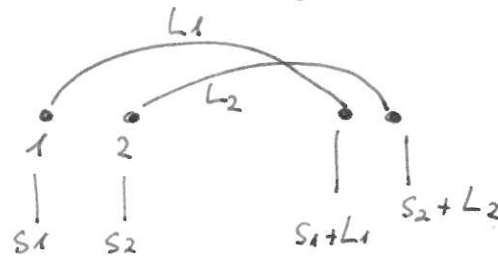


MOMENTUM COMPACTION e COMPRESSIONE di un BUNCH

FERMI è un FEL basato su un acceleratore lineare (di elettroni) nel quale il pacchetto di particelle è compresso temporalmente da un fattore 10 ^{LUNGO L=8'm} e partire da una energia del fascio nel compressore magnetico Val 230 MeV. Il MOMENTUM COMPACTION del compressore (che dicono energetica di 4 dipoli) è +0.01. Il fascio raggiunge il compressore dopo aver ottenuto su LINAC con tensione totale accelerata da picco $\Delta V_0 = 188 \text{ MV}$, alle $f_{RF} = 36 \text{ kHz}$.

Mostrare che la lunghezza del pacchetto di elettroni può essere ridotta nel compressore se esiste una spread di energia nell'pacchetto, ovvero se le coordinate z interne al pacchetto.

Calcolare la ϕ_{RF} che deve essere applicata sul LINAC al fine di ottenere un fattore di compressione $CF = 10 = \frac{\theta_{b,i}}{\theta_{b,f}}$.



$$\Delta z_i = \theta_{b,i} = s_2 - s_1$$

$$\begin{aligned} \Delta z_f &= \theta_{b,f} = (s_2 + L_1) - (s_2 + L_2) = (s_2 - s_1) + (L_2 - L_1) \\ &= \theta_{b,i} + \Delta L \end{aligned}$$

$$\alpha_c := \frac{\Delta h / L_1}{\Delta p_z / p_{z,i}} \quad (\text{assumendo } p_z \text{ come riferimento}).$$

$$\theta_{b,i} = \theta_{b,i} + \Delta L = \theta_{b,i} + \alpha_c L_1 \frac{p_2 - p_1}{p_1} = \theta_{b,i} + \alpha_c L_1 \frac{\Delta p}{p_1}$$

$$\text{Nel LINAC: } \Delta E = e \Delta V_0 = e \Delta V_0 \cos \phi_{RF} = e \Delta V_0 \cos \left(\frac{\pi}{K_{RF}} \right) \quad (\beta_2 \approx 1)$$

$$\Rightarrow \frac{\Delta p}{p_1} \approx \frac{\Delta E}{E_1} = \frac{1}{E_1} \frac{dE}{dz} dz = - \frac{\theta_{b,i}}{E_1} \frac{e \Delta V_0}{K_{RF}} \sin \phi_{RF}$$

$$\Rightarrow \theta_{b,f} = \theta_{b,i} - \theta_{b,i} \alpha_c L_1 \frac{e \Delta V_0 \sin \phi_{RF}}{E_1 K_{RF}} = \theta_{b,i} \left(1 - \frac{\alpha_c L_1}{K_{RF}} \frac{e \Delta V_0 \sin \phi_{RF}}{E_1} \right)$$

Imponendo $\frac{\theta_{b,f}}{\theta_{b,i}} = \frac{1}{10} \Rightarrow \sin \phi_{RF} = 0.219 \Rightarrow \phi_{RF} = 12.65^\circ$

DISPERSION FUNCTION.

Show analytically that the dispersion function for a single bending magnet with a bending angle θ seems to emerge from the middle of the magnet with a slope $D_x' = \theta$.

$$M(\text{bending magnet}) = \begin{pmatrix} \times & \times & p(1-\cos\theta) \\ \times & \times & 2\tan(\theta/2) \\ 0 & 0 & 1 \end{pmatrix} = \begin{pmatrix} C & S & D \\ C' & S' & D' \\ 0 & 0 & 1 \end{pmatrix}$$

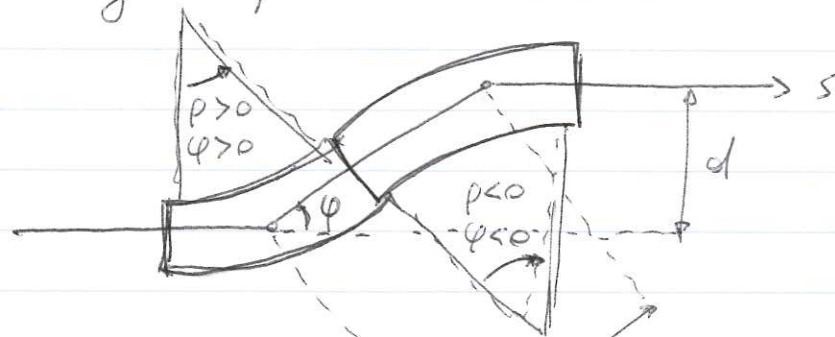
for small θ , $D_x \approx p(1 - 1 + \frac{\theta^2}{2}) = \frac{1}{2}p\theta \cdot \theta = \frac{l}{2}\theta$.

$$\left\{ D_x' \approx 2 \cdot \frac{\theta}{2} = \theta \right.$$

$$\Rightarrow D_x \approx \frac{1}{2}l\theta = \frac{l}{2}D_x' \sim \text{the resulting dispersion is the product of a } l/2 \text{ drift length for a divergence } = \theta.$$

DISPERSION FUNCTION. *

A lattice is constituted by two bending magnets (opposite) of equal but opposite strength. Such a deflection arrangement causes a parallel displacement of the beam path. Show that in this case the contribution to the dispersion function at the end of the second bending magnet is $\Delta D = -d$ and $\Delta D' = 0$.

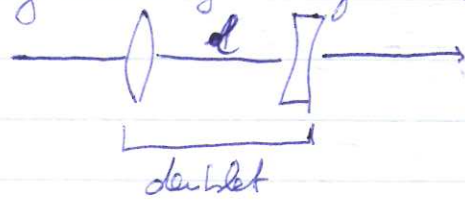


$$M_{\text{tot}} = \begin{pmatrix} 1 & p\sin\varphi & p(1-\cos\varphi) \\ 0 & 1 & 2\tan\varphi/2 \\ 0 & 0 & 1 \end{pmatrix} \begin{pmatrix} 1 & p\sin\varphi & \frac{l_1}{2} + \frac{l_2}{2} \\ 0 & 1 & -p(1-\cos\varphi) \\ 0 & 0 & 1 \end{pmatrix} = \begin{pmatrix} \times & \times & -2p\sin\varphi\tan\varphi/2 \\ \times & \times & 0 \\ e & 0 & 1 \end{pmatrix}$$

$$\Rightarrow \begin{cases} \Delta D_x = -2p \sin \varphi \operatorname{tg} \frac{\varphi}{2} \approx -2p \sin \varphi \frac{1}{2} \varphi = -l \sin \varphi = -d. \\ \Delta D_x' = R_{26} = 0. \end{cases}$$

FODO

Calculate the focal length of a quadrupole doublet with $|P_{qf}| = |P_{qs}| = 5 \text{ m}$ and a distance between the magnets $d = 1 \text{ m}$. Which is the advantage from using such an arrangement of magnets?



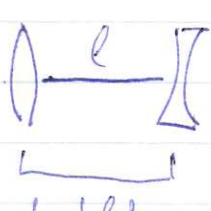
$$M_{\text{doublet}} = \begin{pmatrix} 1 & 0 \\ \frac{1}{l_f}, 1 \end{pmatrix} \begin{pmatrix} 1 & d \\ 0, 1 \end{pmatrix} \begin{pmatrix} 1 & 0 \\ -\frac{1}{l_f}, 1 \end{pmatrix} = \begin{pmatrix} 1 + l_f & l \\ -l_f(l^2 - 1) & 1 - l_f \end{pmatrix}$$

$$\Rightarrow \frac{1}{f_{\text{doublet}}} = -\frac{l}{l^2} \Rightarrow f_{\text{doublet}} = 25 \text{ m.}$$

The total focal length is now longer than the focal length of each quadrupole, but the doublet is focusing in both the transverse planes.

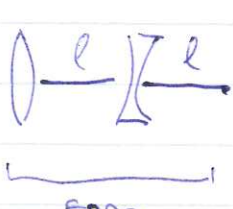
FODO:

Calculate the betatron phase advance for a quadrupole doublet with $|P_{qf}| = |P_{qs}| = 5 \text{ m}$ and a distance between the magnets $d = 1 \text{ m}$. Repeat the calculation for a FODO lattice with $l = 2 \text{ m}$. What is the field gradient required in the two quadrupoles to obtain a phase advance of $\pi/3$ for a proton beam of $p_0 c = 10 \text{ GeV}$?



$$M_{\text{doublet}} = \begin{pmatrix} 1 & 0 \\ \frac{1}{l_f}, 1 \end{pmatrix} \begin{pmatrix} 1 & l \\ 0, 1 \end{pmatrix} \begin{pmatrix} 1 & 0 \\ -\frac{1}{l_f}, 1 \end{pmatrix} = \begin{pmatrix} 1 + l_f & l \\ -l_f(l^2 - 1) & 1 - l_f \end{pmatrix}$$

$$\cos \Delta\mu = \frac{1}{2} \operatorname{tr}(M_{\text{doublet}}) = 1 \Rightarrow \Delta\mu = \pi/3 \text{ rad.}$$



$$M_{\text{FODO}} = \begin{pmatrix} 1 & l \\ 0, 1 \end{pmatrix} \begin{pmatrix} 1 & 0 \\ \frac{1}{l_f}, 1 \end{pmatrix} \begin{pmatrix} 1 & l \\ 0, 1 \end{pmatrix} \begin{pmatrix} 1 & 0 \\ -\frac{1}{l_f}, 1 \end{pmatrix} = \begin{pmatrix} 1 - l_f - l^2 l_f^2 & 2l + l^2 f \\ -l_f(l^2 - 1) & 1 + l_f \end{pmatrix}$$

$$\cos \Delta \mu = \frac{1}{2} \tan(\text{M}_{\text{max}}) = 1 - \frac{\ell^2}{2P^2}$$

$$f = \frac{1}{k\ell} \Rightarrow \begin{cases} \cos \Delta \mu = 1 - \frac{1}{2} k^2 \ell^4 = 0.5 \Rightarrow k = 0.25 \text{ m}^{-2} \\ K = \frac{0.39}{P_0} [\text{m}^{-2}] \end{cases}$$

$$\Rightarrow f = 8.33 \text{ T/m.}$$

SIMPLETTICITA' - QUADRUPOLI.

Demonstrate that a quadrupole thick lens matrix $\mathbf{Q} = \begin{pmatrix} 1 & l \\ 1/f & 1 \end{pmatrix}$ does not preserve the Current-Snyder invariant.

Calculate the quadrupole thick lens matrix which preserves the invariance.

An Hamlower motor is a succession of canonical transformations.

The Jacobian of a canonical transformation is symplectic. Since the determinant of a symplectic matrix is equal to 1 and since the Jacobian expresses the ratio of the phase space hyper-volumes (entropies) before and after the transformation, then the Jacobian of a canonical transformation preserves the invariance.

The Jacobian for a conservative system coincides with the Wronskian determinant of a transport matrix.

$$\Rightarrow \det \begin{pmatrix} 1 & l \\ 1/f & 1 \end{pmatrix} = 1 - \frac{l}{f} \neq 1 \Rightarrow \text{invariance is not preserved because the ratio is not symplectic.}$$

The thick lens quadrupole matrix for a symplectic beam transport is given by:

$$\tilde{\mathbf{Q}} = \begin{pmatrix} 1 & l/2 \\ 0 & 1 \end{pmatrix} \begin{pmatrix} 1 & 0 \\ 1/f & 1 \end{pmatrix} \begin{pmatrix} 1 & l/2 \\ 0 & 1 \end{pmatrix} = \text{product of symplectic matrices} = \text{is still symplectic (group)}$$
$$= \begin{pmatrix} 1 + \frac{l}{2f} & l + \frac{l^2}{4f} \\ 1/f & 1 + \frac{l}{2f} \end{pmatrix};$$

$$\det \tilde{\mathbf{Q}} = 1.$$

SIMPLETTICITÀ - SESTOPOLO :

Dimostrare che un corpo sottile ha simmetria sestopolare in opposizione di lunghezza rispetto all'invanante di Gauß - Snyder. Ripetere la dimostrazione nel caso di lunghezza finita dell'elemento magnetico.

$$\frac{1}{f_{\text{sest}}} = ml^2 \left[m^{-1} \right] \Rightarrow M_{\text{sest}} (\text{thin lens}) = \begin{pmatrix} 1 & 0 \\ ml^2 & 1 \end{pmatrix}$$

$$\Rightarrow \det M_{\text{sest}} = 1.$$

$$M_{\text{sest}} (\text{thick lens}) = \begin{pmatrix} * & \ell/2 \\ 0 & 1 \end{pmatrix} \begin{pmatrix} 1 & 0 \\ ml^2 & 1 \end{pmatrix} \begin{pmatrix} 1 & \ell/2 \\ 0 & 1 \end{pmatrix} = \begin{matrix} \text{product of symplectic} \\ \text{matrices is still} \\ \text{symplectic (group)} \end{matrix}$$

$$= \begin{pmatrix} 1 + ml^2 \frac{\ell^3}{2} & \ell + ml^2 \frac{\ell^4}{4} \\ ml^2 & 1 + ml^2 \frac{\ell^3}{2} \end{pmatrix};$$

$$\det M_{\text{sest}} = \left(1 + ml^2 \frac{\ell^3}{2} \right)^2 - ml^2 \cdot \frac{1}{4} ml^2 \ell^6 =$$

$$= 1 + \frac{1}{4} ml^2 \ell^6 + ml^2 \ell^3 - ml^2 \ell^3 - \frac{1}{4} ml^2 \ell^6 = 1.$$

BETA FUNCTION - DRIFT:

X

Consider a drift space of length $2L$. Calculate the behaviour of the β -function along its length. Which is the minimum value of the β -function which minimizes the β -function along the whole drift? How much is the β -function at the drift edges? Is it possible to obtain a place where $\Delta\mu = \frac{3}{2}\pi$ along the drift space without lensy?

$$\text{Drift matrix}, D = \begin{pmatrix} 1 & 1 \\ 0 & 1 \end{pmatrix} = \begin{pmatrix} c & s \\ s & c \end{pmatrix}$$

Transport of the Twiss parameters:

$$\begin{pmatrix} \beta \\ \alpha \\ \gamma \end{pmatrix}_s = \begin{pmatrix} c^2 & -2cs & s^2 \\ -cc' & cs' + sc' & -ss' \\ c'^2 & -2c's' & s'^2 \end{pmatrix} \begin{pmatrix} \beta \\ \alpha \\ \gamma \end{pmatrix}_0$$

$$\Rightarrow \beta(s) = \beta_0 + \frac{(s - s_0)^2}{\beta_0}$$

For simplicity, set $s=0$. The value of $\beta(s)$ along $s=-L, \dots, L$ depends on the the value of β_0 ; thus:

$$\frac{d\beta(s, \beta_0)}{d\beta_0} \Big|_{s=L} = \left[1 - \frac{s^2}{\beta_0^2} \right] \stackrel{\text{set } s=L}{=} 0 \Rightarrow \beta_0 = L > 0.$$

looking for
the maximum

$$\Rightarrow \beta(\pm L) = 2L$$

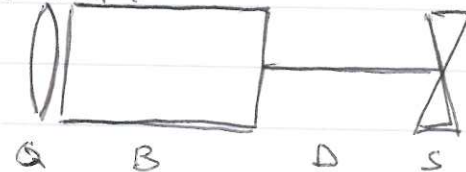
$$\Delta\mu = \int_{-L}^L \frac{1}{\beta(s)} ds = 2\pi \operatorname{ctg} \left(\frac{L}{\beta_0} \right) \rightarrow \pi \text{ when } \frac{L}{\beta_0} \rightarrow \infty$$

$$\Rightarrow \Delta\mu_{\text{drift}} \leq \pi$$

CROMATICITÀ CORRETTA - CALCOLO.

**

Una linea di trasporto ottico è costituita da un quadrupolo seguito da un adiacente dipolo rettangolare e una sezione diritta terminante in un sestipolo. Il gradiente normalizzato del quadrupolo è $K = 1 \text{ m}^{-1}$ e le sue lunghezze magnetice è $l = 0.1 \text{ m}$, pari a quelle del sestipolo. Il dipolo è un campo magnetico verticale $B_0 = 1 \text{ T}$ ed le lunghezze magnetice $L = 0.5 \text{ m}$. La funzione di betatrone orizzontale nel quadrupolo vale $B_{x,q} = 10 \text{ m}$; essa vale $B_{x,s} = 5 \text{ m}$ nel sestipolo. Calcola il gradiente sestipolare necessario ad annullare lo smorzatore lineare selenor orizzontale del rettangolo. Assumi le lunghezze delle sezioni diritte pari a $d = 1 \text{ m}$ metà maggiore delle lunghezze magnetice dei due multipoli. Quanti sestipoli occorrebbero nel rettangolo per comeggiare le caratteristiche lineari in entrambi i piani trasversi? Il flusso di protoni trasportato nel rettangolo ha un'energia totale di 1 GeV . What is the pole field of the sestipole assuming a bore radius of 15 mm?



$$E^2 = (pc)^2 + (mc^2)^2 \Rightarrow p_p = 346.6 \text{ MeV}/c$$

Si ha che la condizione connette è:

$$\xi_{x,\text{rem}} = -\frac{1}{4\pi} \int [k(s) - m(s)D_x(s)]B(s)ds \approx$$
$$\approx -\frac{1}{4\pi} [KB_9l_9 - mD_{x,s}B_s l_s]_x \equiv 0.$$

La dispersione orizzontale nel sestopolio generata dal dipolo è ferita da

$$[D] \cdot [B] = \begin{pmatrix} 1 & d & 0 \\ 0 & 1 & 0 \\ 0 & 0 & 1 \end{pmatrix} \begin{pmatrix} 1 & p \sin \varphi & p(1-\cos \varphi) \\ 0 & 1 & 2 \tan \varphi/2 \\ 0 & 0 & 1 \end{pmatrix} =$$
$$= \begin{pmatrix} * & * & p(1-\cos \varphi) + 2d \tan \varphi/2 \\ * & * & 2 \tan \varphi/2 \\ 0 & 0 & 1 \end{pmatrix} = \begin{pmatrix} C & S' & D \\ C' & S' & D' \\ 0 & 0 & 1 \end{pmatrix}$$

$$\Rightarrow D_{x,s} \approx p(1-\cos \varphi) + 2d \tan \varphi/2 ; D'_{x,s} = 2 \tan \varphi/2 .$$

$$p_0 = \frac{c}{\omega} B_0 p \Rightarrow p = 1.155 \text{ m}.$$

$$\varphi = \text{angolo di ammettuta} = \frac{L}{p} = 0.433 \text{ rad.}$$

$$\Rightarrow D_{x,s} = 0.547 \text{ maa}$$

$$\Rightarrow m = \frac{KB_9l_9}{D_{x,s}B_s l_s} = 3.66 \text{ m}^{-3}$$

$$m = \frac{0.3 g' [\text{T/m}^2]}{p_0 [60 \text{V/c}]} \Rightarrow g' = 4.23 \text{ T/m}^2.$$

$$B_{pb} = \left(\frac{J^2 B_{\pi}}{J_{\pi^2}} \right) R^2 = g' R^2 = 9.5 \cdot 10^{-4} \text{ T}.$$

DISPERSION - CHROMATICITY CORRECTION.

The machine design of an electron-positron collider prescribes a number of super-periods N . A choice for the magnetic lattice of the super-period has to be made between a Double Bending Achromat (DBA) - two identical rectangular bending magnets interleaved by a symmetric quadrupole triplet - and a Triple Bending Achromat (TBA) - three identical rectangular bending magnets interleaved by only a focusing quadrupole in each drift of the achromat. In both the options, the magnetic length of the bending magnets is equal to L . Assuming the quadrupoles between the bending magnets have a negligible contribution to the dispersion function, explain qualitatively which of the two lattices - DBA or TBA - allows in principle to reduce the sextupolar nonlinearities introduced to the achromat to correct the natural (linear) chromaticity.

$$[B] = \begin{pmatrix} x & x & p(1-\cos\varphi) \\ x & x & 2\tan\varphi/2 \\ 0 & 0 & 1 \end{pmatrix} \equiv \begin{pmatrix} C & S & D \\ C' & S' & D' \\ 0 & 0 & 1 \end{pmatrix}$$

$$\Rightarrow D_x \sim p(1-\cos\varphi) \underset{\varphi \ll 1}{\approx} p \frac{\varphi^2}{2} = \frac{1}{2} L \varphi.$$

$$\text{But } \left\{ \begin{array}{l} \varphi_{\text{DBA}} = \frac{1}{2} (\text{total bending angle}) = \frac{1}{2} \frac{2\pi}{N} \\ \varphi_{\text{TBA}} = \frac{1}{3} (\text{" " " }) = \frac{1}{3} \frac{2\pi}{N} \end{array} \right.$$

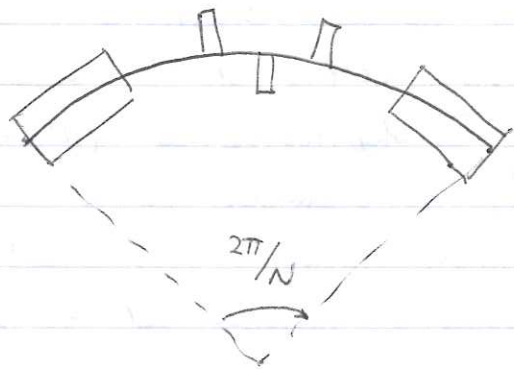
$$\text{Now, } \xi_{\text{com}} = - \frac{1}{4\pi} \int B(s) [k(s) - m(s) D_x(s)] ds$$

To reduce the sextupole strength "m" achieving the required value of mD_x , one needs to adopt the larger D_x .

$$\Rightarrow D_{x,\text{DBA}} \sim \frac{1}{2} \left(\frac{\pi L}{N} \right) > D_{x,\text{TBA}} \sim \frac{1}{3} \left(\frac{\pi L}{N} \right)$$

$\Rightarrow \text{DBA!}$

DBA :



TBA :

